

蘇聯机床制造工業部
全蘇工具科學研究院

滾切法切削過程的研究

技術科學博士 И. И. 謝銘欽柯教授主編

技術科學付博士 Ю. В. 英維斯著

第一機械工業部第二机器工業管理局

金屬切削机床研究所

本書根据：苏联机床制造工业部全苏工具科学研究院 Ю. В. ЦВИСС
著 И. И. СЕМЕНЧЕКО 主編的 “ИССЛЕДОВАНИЕ ПРОЦЕССА ТО-
ЧЕНИЯ ПО МЕТОДУ ОБКАТКИ” (ЦБТИ 1950年版一書) 譯出

譯者：史軼宗 戴 真 审者：周廣誠 李云璧

編輯：邱鶴章

出版發行者：金屬切削机床研究所

1957年出版

目 录

第一篇 理論部分	1
序言	
I 切削过程的运动学	6
A 成形迴轉体的加工	6
B 螺旋面的加工	8
II 用滚切法可能加工定形工件的条件	20
III 刀具外形的設計	23
A 安装在工件中心上的、用于加工成形迴轉体的刀具外形	23
B 安装得低于工件中心的，用于加工成形迴轉体的刀具外形	28
B 用圆弧来代替刀具外形曲线	35
Г 加工螺旋面的刀具外形	38
IV 刀具后面的形成	41
A 安装在工件中心上的，用于加工成形迴轉体的刀具后面	41
B 安装得低于工件中心的，用于加工成形迴轉体的刀具后面	53
B 加工螺旋面的刀具后面	53
V 刀具的几何形状	54
A 加工成形迴轉体的，具有錐形后面的刀具几何形状	55
B 加工成形迴轉体的，具有圆柱形后面的刀具几何形状	63
B 加工螺旋面的刀具几何形状	75
VI 刀具外形的修正和工件外形由于刀具重磨而产生的誤差的确定	98

A	加工成形迴轉体的、具有錐形后面的刀具	98
B	加工成形迴轉体的、具有圓柱形后面的刀具	101
B	加工軸向截面中具有直綫外形的螺旋面所用的 刀具	102
VII	過渡曲線	102
VIII	刀具計算須知	112
A	加工成形迴轉体的、具有錐形后面的刀具的計 算須知	112
B	加工成形迴轉体的、具有圓柱形后面的刀具的 計算須知	119
B	加工軸向截面中外形為直綫的螺旋面所用的 刀具的計算須知	121
IX	切屑的形成	128
A	加工成形迴轉体时的切屑形成	128
B	加工螺旋面时的切屑形成	128
第二篇	實驗部分	133
參考文獻	162

第一篇 理論部分

序 言

加工迴轉體表面和螺旋面可以用各種不同的方法來實現。

加工迴轉體表面可以有下列方法：

1. 借外形符合於迴轉體表面形狀的靠模、以車刀進行加工。

這種方法的缺點是：

a) 不可能加工那些曲率半徑小於沿靠模滑動的滾子半徑的工作外型部份。

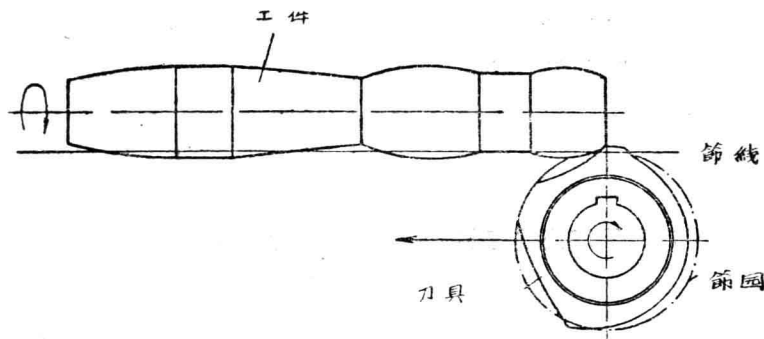


图 1

b) 不可能加工工作上昇角較大的外型部份。这是因为作用力对仿形機構很不利（靠模外形的昇角不应超过 45° ）。

2. 用成形寬車刀作徑向或切線走刀。

這種方法的缺點主要是不能加工較長的工作。

3. 用碗形成形車刀以滾切法進行加工。

用這種車刀工作時，刀具外型的節圓沿着迴轉體外型的節線進

行无滑动的滚动（图 1）。被加工的工件仅作旋转运动，而刀具轴线则沿着工件的轴线作等速移动。

在这样的运动时，当工件节线沿着刀具节圆滚动时，则刀具外形应是工件外形线连续位置的包络线。

加工螺旋面（例如丝杠，蜗杆，螺纹）可用下列方法进行：

1. 在螺丝车床上用车刀加工。

这种方法的缺点是：

a) 生产率低，因切削螺纹时，必须行程多次。

b) 加工多头螺纹时，切削一条螺旋线之后，必须进行精确分度。这就同样使生产率降低，并延长了辅助时间。

2. 用盘状螺纹铣刀，或环形螺纹的组合螺纹铣刀进行加工。

用螺纹铣刀加工有下列缺点：

a) 不能在刀具一次行

程后加工出多头螺纹。

b) 不能切削超过铣刀工作部份长度的螺纹（在用环形螺纹的组合螺纹铣刀加工时），

3. 用螺丝切头进行加工。

这种方法的生产率很高，但是只能切削螺距不大的螺纹（3公厘以下）。

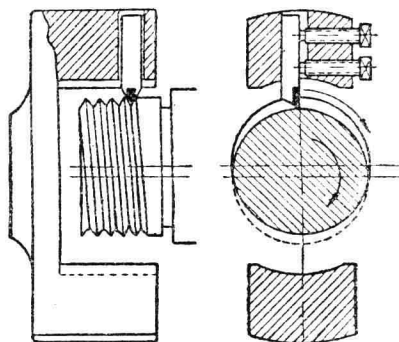


图 2

4. 用装有硬质合金刀片的单齿螺纹铣刀进行加工（图 2）。这种切削方法，由于允许采用很高的切削速度，因而其生产率很高。但其缺点是当切削多头螺纹时，必须行程多次。

5. 用碗形容形车刀以滚切法进行加工（图 3）。

当蜗杆转动时，蜗轮亦将随之同时转动。若使蜗轮的轴线作平行于蜗杆的轴线移动，我们就可以看到，蜗轮的节圆将沿着蜗杆节

線作无滑滚动，正象柱形小齒輪在齒條上滚动一样。倘使蝸桿轉速為 ω_1 ，同时蝸輪軸線沿着蝸桿軸線移动，则蝸輪就應該具有三种运动：

- 由于蝸桿旋轉而使它繞本身軸線的旋轉运动 (ω_2)；
- 沿着蝸桿軸線的前进运动 (V)；
- 由于蝸輪節圓在蝸輪節線上滚动而产生的附加轉動 (ω_3)。

如果將蝸輪作为刀具，蝸桿作为坯件（图 4），並給它們以上述运动，这样就可得到用碗形成形車刀切削蝸桿螺紋的加工过程。

用滚切法来加工成形迴轉体和螺旋面，具有下列一些主要优点：

- 能够对具有所需長度的成形迴轉体进行加工。

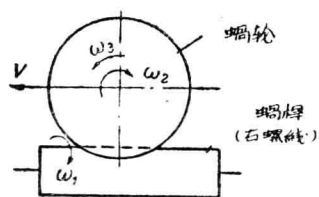


图 3

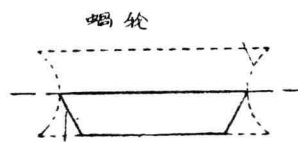


图 4

- 对成形迴轉体和螺紋（包括多头螺紋）的加工可以在一次行程中完成。

- 由于刀具切削刃的实际工作部份与工件接触時間很短，并由于相鄰工作部份作連續不断的变更，所以造成了有利的切削条件。

- 由于能够采用高速切削和本身切削过程的特点，因而生产率較高。

- 使用这种方法，可以不受工件外形升角的限制。

- 由于可以采用高速切削，就造成了加工时的良好条件，同

时由于能够在一次行程中完成整个工序，並能使操作过程完全自动化，因而这种方法的生产率很高。此时工件任何外形的得到，不是依靠机床的复杂化，而只是依靠所采用的刀具外形来保証。

这样，就保証了机床調整簡單，並且有可能由技术熟練程度較低的工人操作。

滾切法的生产率可以与螺紋銑削法比較后大致地确定。

当銑削螺紋时，机动時間可按下式計算，

$$T_{\text{銑}} = \frac{\pi^2 \cdot D \cdot L \cdot D_\phi}{1000 S_z \cdot Z \cdot V_p \cdot t \cdot \cos \omega}.$$

式中： D ——螺紋直徑，公厘；

L ——螺紋長度，公厘；

ω ——螺紋中徑上的螺旋綫昇角；

t ——螺紋的螺距，公厘；

D_ϕ ——銑刀直徑，公厘；

S_z ——銑刀每齿走刀量，公厘；

Z ——銑刀齒數；

V_p ——切削速度。

用滾切法加工螺紋时，其机动時間可按下式确定：

$$T_{\text{滚}} = \frac{L}{n \cdot S},$$

式中： n ——工件的轉数；

S ——工件每轉一轉，刀具沿工件軸線的走刀量。

$$\text{因为 } n = \frac{1000 V_p}{\pi \cdot D} \quad \text{則 } T_{\text{滚}} = \frac{L \cdot \pi \cdot D}{1000 V_p \cdot S}$$

假設在上述兩种情况下的切削速度相等，

$$\text{則 } \frac{T_{\text{銑}}}{T_{\text{滚}}} = \frac{\pi \cdot D_\phi \cdot S}{S_z \cdot Z \cdot t \cdot \cos \omega}$$

$$\text{令 } \frac{\pi \cdot S \cdot D_\Phi}{S_z \cdot Z} = A, \quad \text{則 } \frac{T_{\text{銑}}}{T_{\text{滾}}} = \frac{A}{t \cdot \cos \omega}$$

通常 $\cos \omega \approx 1$, 故最后得:

$$\frac{T_{\text{銑}}}{T_{\text{滾}}} = \frac{A}{t}$$

A 值可根据經驗和定額資料計算。下表中列出的是各种不同工件的 $\frac{T_{\text{銑}}}{T_{\text{滾}}}$ 比值。

序号	螺 紹 尺 寸	D_Φ	S_z	Z	S	A	$\frac{T_{\text{銑}}}{T_{\text{滾}}}$
1	螺 距 $t = 3$ 公厘	70	0.06	32	0.2	23	7.6
2	” $t = 5$ 公厘	70	0.06	32	0.3	35	7.0
3	” $t = 10$ 公厘	90	0.06	28	0.4	68	6.8
4	” $t = 15$ 公厘	90	0.06	28	0.4	68	4.8

实际上，滚切法的生产率比螺纹铣削法的生产率較表中所列数据要大好几倍，因为上述所作比較，是在同样的切削速度下进行的，但是在用滚切法加工螺纹时，其切削速度应比铣削法高些。

用滚切法来加工成形迴轉体和螺旋面时，有以下的缺点：

1. 在刀具的設計和制造上，較为复杂。
2. 在与工件軸綫傾斜成不同斜角的外形各部分連接处（连接点），存在着过渡曲線（图5）。

故用滚切法来加工成形迴轉体和螺旋面，建議用于成批和大量生产中。因为在这种情况下，在生产上采用上述加工方法时，由

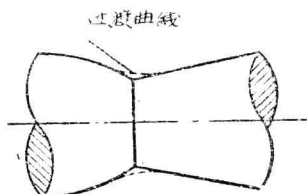


图 5

于刀具在制造上和計算上的复杂性，就不能佔有主要地位。在工件上常常是允許存在过渡曲綫的，但必要时，可以在工件上用相当于选择节線位置的方法，使它縮減到很小的数值，甚至为零。

由此可见，上面列举的缺点，并不阻碍上述方法在机械制造业中广泛使用的原因，而这种方法之所以较少推广，其原因可以解釋为：

1. 大部份生产工作人員不知道这种方法和使用这种方法的好处。
2. 缺乏專門的設備。
3. 缺乏設計和計算这种刀具的說明資料。
4. 缺乏在普通車床上借助于專用夾具，来使用这种方法的資料。

在本書中就是企图来弥补上述缺陷。为此，本書將談及下列几点：

- a) 叙述一些專用机床的原理图；
- b) 刀具的設計和計算方法；
- b) 在普通車床上采用这种方法所需夾具的原理簡图；
- r) 提供出全苏工具科学研究院对成形迴轉体及螺旋面进行加工的一些試驗記錄。

1. 切削过程的运动学

A. 成形迴轉体的加工

用滾切法加工成形迴轉体时，刀具的节圓是沿着工件节線作无滑动的滚动（見图 1）。这样工件的外形將是刀具外形連續位置的包絡線。

因此，为了使节圓能在节線上作无滑动的滚动，只要在刀具的軸上裝上一个小齒輪，使該小齒輪的節圓直徑等于刀具的節圓直徑，並使二者的公共軸線沿着工件軸線作强制移动（图 6）。由

此，小齒輪應該與固定的齒條相嚙合。

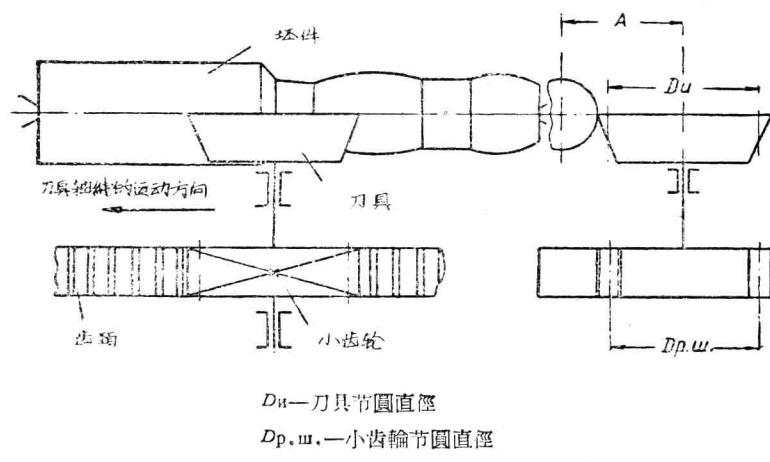


图 6

在上述情况下，倘使由于实际需要，要求能改变刀具和工件間的中心距离（A）及刀具节圆直徑，則可以采用如图7所示的机构。

应用这种方法，齿条被固定在机床上，并与小齿輪相嚙合，小齿輪的軸則被安装于夾具中，夾具上裝有刀具的軸和輪架x。

借助于輪架x，由小齒輪向刀具傳递运动。

如果使夾具主体x沿着工件軸線运动，小齒輪就將在齒條上滚动，同时通过輪架x向刀具传递迴轉运动。

显然，为了使刀具节圆在工件节线上作无滑动的滚动，輪架x的傳动比必須按下列公式調整：

$$x = \frac{D_{p.m}}{D_u} \dots \dots \dots \quad (1)$$

式中：D_{p.m}—一小齒輪的節圓直徑；

D_u—刀具的節圓直徑。

实际上，小齒輪旋轉一轉，則整个夾具連同刀具一起沿工件軸線移动一个距离为 $L = \pi D_{p.m}$ 。当小齒輪每轉一轉时，刀具节圆沿

工件节綫无滑动的滚动着。並滚过同样一个長度 L 。这时，刀具的轉數应等于 $\frac{L}{\pi D_H}$ ，从而得：

$$x = \frac{L}{\pi D_H} \quad \text{或} \quad x = \frac{\pi D_p \cdot m}{\pi D_H}$$

上述簡图可以在車床上用滾切法加工成形迴轉体时作夾具設計用。

在这种情况下，齿条是固定在机床床身上，而夾具体連同小齒輪、輪架 x 和刀具一起，都是安裝在机床的刀架上的。

夾具沿着軸綫的縱向移动，可以借能保証工件每轉后必須的走刀量的机床走刀箱来实现。

B. 螺旋面的加工

上面已經提过，用滾切法加工螺旋面时，要有兩种成形运动（見图 3）。

1. 蝸桿的傳動运动（刀具——蝸輪，坯件——蝸桿）；
2. 齒條的傳動运动（刀具——齒論，坯件——齒條）。綜合這兩种运动的結果，我們可以得到：

① 坯件的轉動 (ω_1)。

② 刀具軸綫沿工件軸線的移动 (V)。

③ 刀具繞本身軸綫的轉動 ($\omega_2 - \omega_3$)。

刀具繞本身軸綫的迴轉，是下列兩种形式运动的綜合結果：

1. 象蝸輪一样的刀具轉動。（工件每轉一轉，刀具應轉過

$\frac{K}{Z_H}$ 轉。式中： K ——蝸桿的螺紋头数， Z_H ——刀具的齒数）。

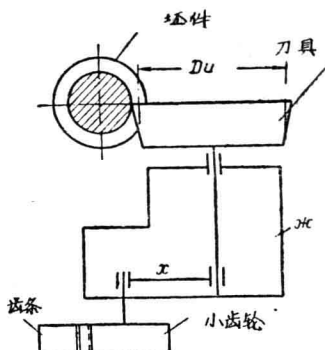


图 7

2. 刀具与工件象齒輪与齒條啮合一样的轉動，（当刀具軸線沿工件軸線移动距离 L 时，刀具应轉过 $\frac{L}{\pi D_H}$ 轉）。

为了实现工件与刀具的上述运动，介绍下列如图 8 所示的原理简图

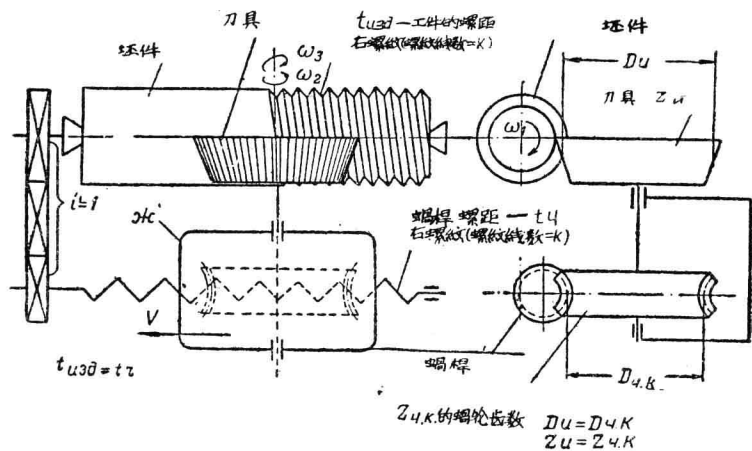


图 8

工件安装于机床的两个顶尖上。运动由主轴借传动速度比 $i=1$ 的传动链传递到一长蜗杆上，该蜗杆的螺距等于所需加工的工件螺距。与蜗杆啮合的有一个蜗轮，与该蜗轮同一轴上安装着刀具（刀具和蜗轮的节圆直径和齿数都相等）。

刀具和蜗轮二者的轴装配在夹具主体 K 上，夹具可以沿着工件轴线移动，（例如刀架）。由此可见，当主轴转动与夹具主体 K 沿工件轴线移动时，刀具可以完全做到出蜗轮的运动，因而在坯件上就复制出蜗杆的螺纹。

如果被加工螺纹的螺距不等于夹具中蜗杆的螺距，而刀具的节圆直径亦不等于蜗轮的节圆直径，在这种情况下，则建议应用图 9 所示的简图进行。

图 9 与前述图 8 的区别，在于用挂輪架 y 来代替主軸与蝸桿間傳动比 $i = 1$ 的傳动鍊，而蝸輪和刀具之間則加入挂輪架 x 。

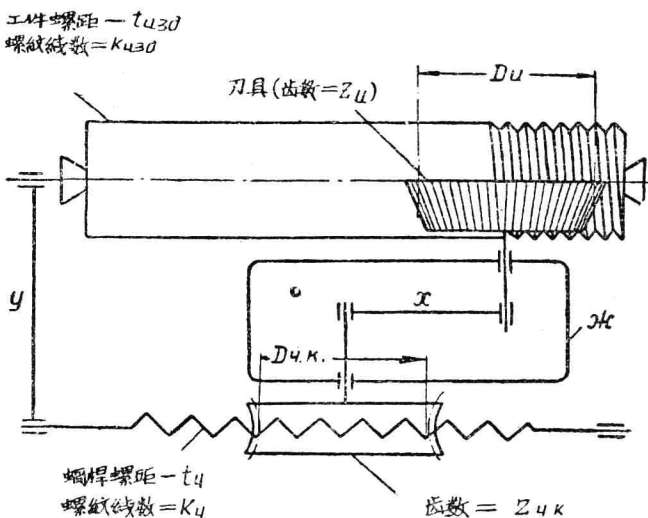


图 9

这种結構正象图 7 所示，挂輪架 X 应按照下列公式調整：

$$X = \frac{D_{u.K.}}{D_u} \dots \dots \dots \quad (1)$$

(在上述情况下，蝸輪执行着小齒輪的任务)。

因此，为了在工件和刀具之間实现蝸桿一样的傳动，就必须有下列的相互关系：

坯件每轉一轉，刀具应轉 $\frac{K_{u3d}}{Z_u}$ 轉。

因之， $Y \cdot \frac{K_u}{Z_{u.K.}} \cdot X = \frac{K_{u3d}}{Z_u}$ ，由此

$$Y = \frac{K_{u3d} \cdot Z_{u.K.}}{K_u Z_u \cdot X} \text{，但是 } Z_{u.K.} = \frac{\pi D_{u.K.}}{t_u} ;$$

$$Z_H = \frac{\pi D_H}{t_{H3\Delta}}; \quad X = -\frac{D_{q,K}}{D_H}$$

将这些数值代入 Y 值中，即得：

$$Y = \frac{K_{H3\Delta} \cdot \pi D_{q,K} t_{H3\Delta} \cdot D_H}{K_q \cdot t_q \pi D_H D_{q,K}} \text{ 或是 }$$

$$Y = \frac{K_{H3\Delta} \cdot t_{H3\Delta}}{K_q \cdot t_q} \dots \dots \dots \quad (2)$$

如果夹具中是单头蜗杆，则

$$Y = \frac{K_{H3\Delta} \cdot t_{H3\Delta}}{t_q} \dots \dots \dots \quad (2a)$$

上述简图，在设计车床夹具用之，此夹具是当用滚切法加工螺旋面时用的。在这种情况下，借挂轮架 Y 使与机床主轴相联接的并装在轴承上的蜗杆，是装在机床床身的后侧。

蜗轮、挂轮架 X 和刀具一起被安装在固定于刀架上的夹具中。倘使将挂轮架 Y 脱开，就能使蜗杆固定不转动，所以上述简图能成功地利用于加工成形回转体中。

这时蜗杆即起着齿条的作用，而蜗轮是起着小齿轮的作用。由此，图 9 所示的机构乃是一种通用机构，因为可使制造出来的夹具同时适用于螺旋面和成形回转体的加工。

图 10 所示就是根据上述形式，用滚切法加工的仿形车床和螺纹车床的调正简图。

图 10 中，没有挂轮架 X ，因此在这种机床上只能使用节圆直径等于蜗轮节圆直径的刀具。

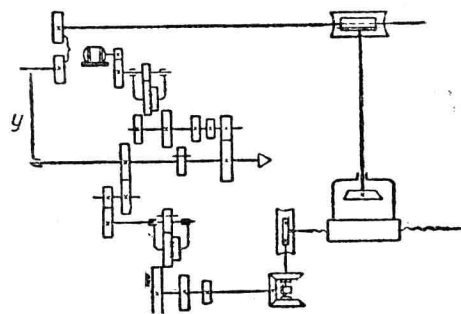


图 10

在某些情况下，这一类机床亦有使用一些其它形式的原理简图（图11）。

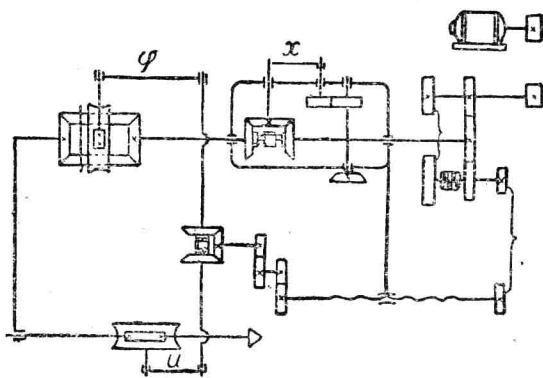


图 11

为了阐明上述图中的構成原理，首先应知道，刀具在工件每轉后的运动。

工件每轉一轉後，刀具軸線沿工件軸線移動量 $L = S$ ，式中 S 為工件每轉後的走刀量，以公厘計。

当工件每轉一轉后，刀具的轉數与蜗輪的轉數相同。即

$$n_2 = \frac{K_{\text{изд.}}}{Z_u} \cdot \text{轉}$$

当工件旋转一转后,由于刀具的节圆在工件节线上滚动所引起的刀具附加转数为:

$$n_3 = \frac{L}{\pi D_{ii}} = \frac{L}{t_{изд.} \cdot Z_{ii}} = \frac{S}{t_{изд.} \cdot Z_{ii}} \text{ 轉}$$

这时刀具的总轉数为:

$$n_1 = n_3 \pm n_2 = \frac{S}{t_{\text{изд.}} \cdot Z_{\text{н}}} \pm \frac{K_{\text{изд.}}}{Z_{\text{н}}} \dots \dots \dots \quad (3)$$

在公式(3)中,第二項前面的±號,是表明被加工蝸桿螺旋

綫的方向（右旋或是左旋）。

在上述机床簡图中，是依靠掛輪架 U 来調整所需要的走刀量的。

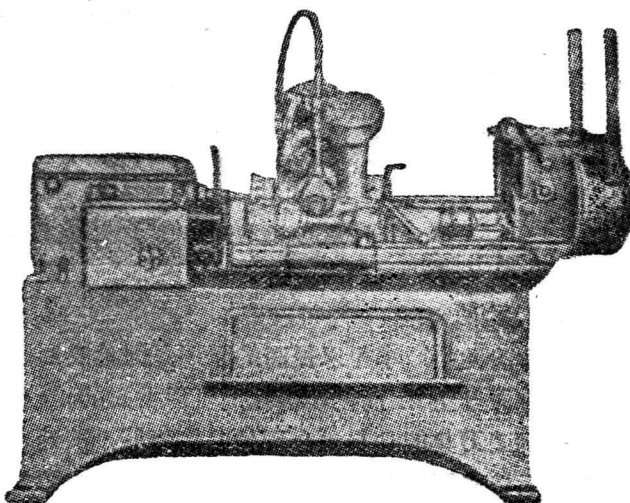


图 12

把刀具轉數調整到公式（3）所給出的數字時是借助于刀具傳動鍊，其中包含着掛輪架 U 和 X 。

圖中由於有差動機構和差動掛輪架 φ ，因而使机床能够进行精确的調整。

圖12所示為用滾切法加工的成形螺絲車床，圖13、圖14則表示加工成形迴轉體和蝸桿的切削過程。

圖15所示為同時用兩把刀具進行滾切法加工的情況。

當同時以兩把刀具進行工作時，刀具可以有三種不同的佈置方案。

第一種方案，是以一把刀具用于粗加工，而另一把刀具進行精加工（圖16）。